

早稲田大学理工学部土木工学科 正員○赤木貴一
同上 同森麟

1. すえがき

軟弱粘土地盤においてシールドトンネルを施工する場合に地盤の沈下防止は重要な問題である。発生する沈下量のうち最も大きさを占めるものは一般にテールボックスに閉鎖した沈下と言える。著者らは従来よりテールボックスの応力解放やテールボックスに対する裏込め注入に伴う土の動きとその時に生じた土の乱れに基づく圧密沈下挙動について研究を行ってきた。⁽¹⁾⁽²⁾ しかししながら、シールド前面に作用する推力の過不足やシールド機関面に作用する摩擦力により周辺部の土は変形し、乱れに基づく圧密沈下が発生する。本研究は粘土地盤のシールド前面推力の過不足による土の取込み土量の違いがシールド通過後の圧密沈下と含めた地盤変形挙動に及ぼす影響を有限要素法による解析結果をもとに調査したものである。

2. 粘土の乱れに基づく圧密現象

軟弱粘土地盤のシールド工事とシールド切羽における土の取込みやシールド機関面摩擦によって、トンネル周囲の土は非排水条件下せん断変形し土の骨格構造に乱れが生じる。この乱れに伴う圧密による体積収縮率 ϵ_0 は、土の圧縮指数 C_c 、鉛直比 S_t 、塑性指数 I_p で決まり次式のようにせん断ひずみ γ の関数として求めることできる。⁽³⁾

$$\alpha = \{0.3 \cdot C_c / (1 + e_0) + \log \{ (0.33 \cdot I_p)^{0.17} \log S_t \} \cdot \gamma + 1 \} \quad (1)$$

3. シールド切羽からの土の取込みに伴う地盤変形の解析

3.1 解析モデルおよび解析手順

解析モデルは図1(a), (b)に示す縦断面および横断面をもつターブル状粘土地盤であり、その内部を土かほり15m、外径20mのシールドが通過する場合を想定して有限要素法により解析した。解析における地盤は $E = 180 \text{ t}/\text{m}^2$ 、 $\nu = 0.475$ の等方弾性体であると仮定した。要素は8節点、六面体アソバラメトリック要素である。

解析手順は次のとおりである。

① 図1(a)のシールド切羽の中心線上節点にシールド前面推力 p と切羽部分の静止土圧 K_0 の過不足分 $\Delta\sigma$ に相当する節点力を作用させた時の地盤変形量を求める。(図2参照)
なお、シールド前面推力 p は切羽面に均等に作用すると仮定

し、その大きさとしては $p = 20.224, 21.248, 22.400, 23.552, 24.576 \text{ t}/\text{m}^2$ の5種類とした。 $(K_0 = 0.8)$

② 実際にシールド切羽における土の取込みは連続して行われ、取込みに伴う地盤の変形はシールド通過後徐々に定常状態に到達すると考えられるが、このような状況を解析的に表現することはさわめて困難である。本解析ではシールド通過後定常的な変形状態に到達した横断面を次のように推定した。図1(b)の横断面ご同一の座標をもつ節点(矢印に5点ある)はシールド通過後において①の結果で最大の変位ベクトルを示す節点と同一変形に付するはずである。したがって、このように最大変位ベクトルを示す節点を集めたものをシールド通過後の変形した横断面とした。

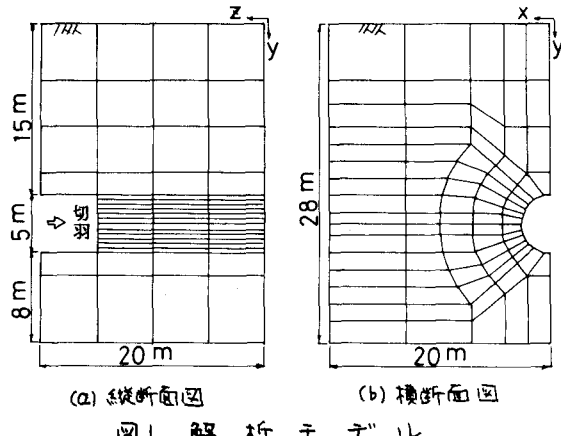


図1 解析モデル

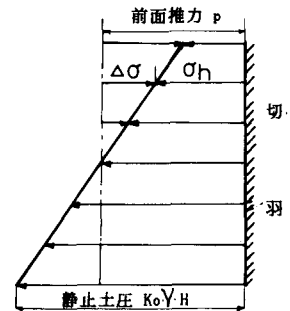


図2 シールド前面推力の過不足

③ このようにして求められた横断面内のシールド外周部に相当する節点の動力をもとに取込み土量 M を算出する。たとえば、前面推力が不足して余分に土を取り込んで、シールド外周部の節点がすべてシールド断面 (A_0) 内部に流入した場合には、図3の余掘り分 (ΔA) を余掘り分として勘削することにする。したがって、この時の取込み土量 $M = \{1 + (\Delta A/A_0)\} \times 100\% (= 100\%)$ が求まる。一方、前面推力が過剰に作用して切羽前面の土を押込んだ場合にも同様の考え方で取込み土量 M や求まる。

①の 5 構造の前面推力に対する取込み土量 M はそれぞれ $11, M = 100.7, 100.3, 99.9, 99.5, 99.1\%$ である。これらの値はいずれも 100% に近い値であり、シールドが正常にうまく施工されている場合に相当する。これら M の値はまさに模型実験を行い取込み土量と前面推力の関係を調査した結果からもほぼ相当すると言える。⁽⁴⁾

④ 以上の結果をもとにシールド切羽からの土の取込みに伴う変形した地盤の乱れに基づく圧密沈下量を算定する。圧密沈下量の算定にあたっては②で求めたシールド通過後の横断面内の変形について、最大の面積せん断ひずみ $\gamma_{oct} = \frac{2}{3} \times \sqrt{(\varepsilon_1 - \varepsilon_2)^2 + (\varepsilon_2 - \varepsilon_3)^2 + (\varepsilon_3 - \varepsilon_1)^2}$ を求め、(1)式を利用して計算した。なお、粘土層の土質としてはそれを乱れに伴う圧密収縮の発生し易さの要する I, II, III, IV の 4 構造を想定した。(参考文献(2)参照)

4. シールド切羽からの取込み土量と地盤変形挙動の関係

図4はシールド前面推力が $p = 20,224 \text{ kN/m}^2$ で静止土圧よりも不足した場合のトンネル中心線上横断面の変形の一例を示したものである。切羽面は斜め下方に大きく変形し、切羽前方をもろに引きずられる形で動いている。

図5は図4に示した土の動きをもとに推定したシールド通過後の横断面の地表面の動きであり、切羽における土の余剰の取込み ($M = 100.7\%$) に伴って沈下した地表面が後続する土の乱れに基づく圧密現象により同程度の沈下を生じる状況がわかる。なお、この場合の粘土の土質としては中程度の乱れ易さをもつ $S_t = 20, C_c = 30, C_e = 0.5, e_0 = 1.6$ 上を想定している。

図6は本研究で得られた解析結果を取りまとめたものであり、シールド切羽からの取込み土量 M とトンネル中心線上地表面の変形量の関係を示したものである。取込み土量 M が 100% 以上では地表面は沈下し、その後にこうして同程度あるいはそれ以上の乱れに基づく圧密沈下が発生する。 M が 100% に近づいて地表面の動きは減少する。しかし、 100% 以下になると即時的に地表面は隆起するものの、その後乱れに基づく圧密によつて大きく沈下し、本解析に関する限りいずれも元の地表面よりも最終的には沈下している。すなはち、前面推力を過大にして M が 100% 以下にまで地盤に過度的な荷重を与えた場合の方が乱れによる圧密が大きく発生し、地上・地下構造物に与えて有害な影響を及ぼす。

5. まとめ

本研究はシールド切羽からの土の取込みに伴う地盤の動きと構造の破壊を設けて理想化した条件下で解析したものであり、その妥当性については現場の実測結果等に基づいて吟味する必要がある。いわゆる、取込み土量がほぼ 100% という正常な施工時に、ナーベルボートの影響が少ない切羽からの土の取込みのみによるものかぎりの地盤変状が生じることは明らかであり、今後のシールド施工に伴う土の動きを考えると意義深いと言える。

6. 参考文献：(1) トネル工地F, Vol. 11, No. 8 (1980), (2) トネルと地下, Vol. 15, No. 12 (1984), (3) 土木学会論文報告集, No. 335 (1983), (4) トネルと地下

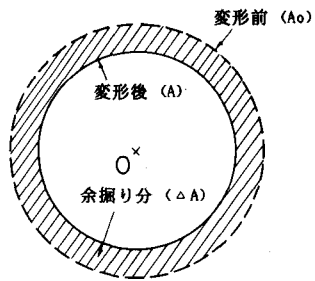


図3 取込み土量 M の算出

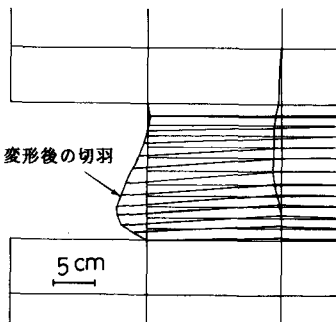


図4 土の取込みに伴う地盤の動き(横断面)

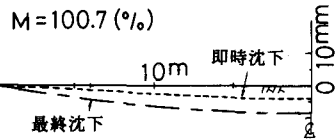


図5 土の取込みに伴う地表面の動き(横断方向)

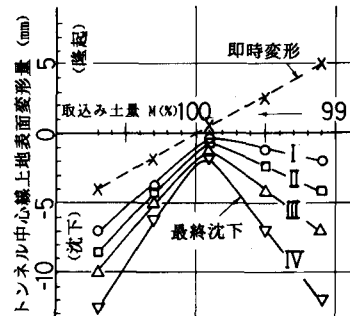


図6 取込み土量と地表面変形量の関係